1.1【基本定义】

图像: 二维函数 f(x,y),xy 空间坐标,f 值为强度或灰度级 数字图像: 有限的离散的 f(x,y)

俊素: 数字图像的最小单元

应用领域: 医学成像、遥感、航天应用、天文学 图像分类: 电磁波谱、电子学的、声学的、计算机学的 顶刊: TPAMI, tip, Tmi, medical image analysis

1.2【人类视觉感知】

视锥细胞、视杆细胞, 小孔成像的相似三角形

1.3【图像传感采集】

F(x,y)=i(x,y)r(x,y),i 发光强度, r反射

1.4【图像采样量化】(科技论文>300dpi)

空间分辨率: 单位距离下可识别的 line pairs 的最大数量 强度分辨率:对可分辨出的最小强度级变化,一般28,16,32

1.4.4 插值

最近邻: 可能导致扭曲, 按最近的 双线性: v=ax+by+cxy+d 双立方: $v(x,y) = \sum_{i=0}^{3} \sum_{i=0}^{3} a_{ij}x^{i}y^{i}$



1.5【像素关系】

邻域 neighbor: N_4 十字, N_D 对角, $N_8 = N_4 \cup N_D$ 邻接 adjacency: 4 邻接 $(q \in N_4(p))$ $8(q \in N_8(p))$, $m(q \in N_4(p), or \ q \in N_D(p) \ and \ N_4(p) \cap N_4(q) = \phi)$ 路径 path: 一组点。长度为点数目,有4、8、m三种路径

联通分量 connected component: 图像子集 S(必须是方的)中 连接着的像素组(Y=必须给出邻接的类型才能求 联通集 connected set: 只有一个连通域的 S 集(必Y) 区域 region: 即联通集。两区域相邻意味着 R1 UR2 为联通

集, 否则即两区域不相邻。(必Y) 边界 boundaries: 前景为全部不相邻区域之并集, 其余为背 (必Y,一般使用 8 邻接定义)

距离:满足非负,对称,三角不等式的函数 D(p,q) 欧氏距离=二范数, D4 城市街区距离=横纵绝对值之和, D8 棋盘距离=横纵绝对值最大值

1.6【基本数学工具】

1.6.1 数学概念

Elementwise product: 两矩阵对应位置相乘 Matrix product: 矩阵乘法

算子: H(f(x,y)) = F(x,y), 线性H(af + bg) = aF + bGunion 并, intersection 交, mutually exclusive 互斥也叫 Disjoint 不相交, complement 补集, difference 差集, se universe 全集

空间算子: 单像素算子如强度变换映射(s=Tz); 邻域算子如 均值滤波;几何变换如仿射变换,某点改变后坐标=矩阵*该 占原来的坐标

$$\begin{bmatrix} x' \\ y' \\ 1 \end{bmatrix} = \mathbf{A} \begin{bmatrix} x \\ y \\ 1 \end{bmatrix} = \begin{bmatrix} a_{11} & a_{12} & a_{13} \\ a_{21} & a_{22} & a_{23} \\ 0 & 0 & 1 \end{bmatrix} \begin{bmatrix} x \\ y \\ 1 \end{bmatrix}$$

identity 等价: [1,0,0;0,1,0]为前两行, x 竖 y 横下同 缩放/反射 reflect: [cx,0,0;0,cv,0]

旋转: $[c\theta, -s\theta, 0]$; $s\theta, c\theta, O]$ (顺时转 θ 为负,可用(0, y)验证

平移 translation: [1,0,tx;0,1,ty]

错切 shear 单向拉伸, 垂直[1,sv,0;0,1,0],水平[1,0,0;sh,1,0]

1.6.2 正向变换 Forward transform(如 fft 前的 shift):
$$T(u,v) = \sum_{x=0}^{M-1} \sum_{y=0}^{N-1} f(x,y) r(x,y,u,v), f(x,y) = \sum_{x=0}^{M-1} \sum_{y=0}^{N-1} T(u,v) s(x,y,u,v)$$

判断其可分离性: $r(x, y, u, v) = r_1(x, u)r_2(y, v)$

判断其对称性: 当可分离,且 $r_1(x,u) = r_2(y,v)$ 例如傅里叶核 r_fft 就是 xy 可分离(独立)、xy 对称的核 矩阵写法: T = AFA, 其中 F 为图像方阵, A 为变换核矩

阵且 $a_i = r1(i,j)$, T为变换后结果。 矩阵变换流程: F'=BAFAB, 如傅里叶, walsh, 哈达玛变 换, 离散余弦, haar变换都是。先正向再变, 反向再逆变

强度值视为随机变量 z_k ,k=1~255 则概率为灰度值出现次数 $p(z_k) = \frac{n_k}{MN}$, $mean = \sum z_k p(z_k)$, $var^2 = \sum (z_k - m)^2 p(z_k)$ | 定义:将 f(t)变为 F(u),获取(原时域函数展成傅里叶级时,在(频率为u的正弦波)前的系数。其原变换和逆变换:

第二章 强度变换空域滤波

2.1【定义】

强度变换 intensity transformation: $s=T(r), r \in (0,1)$,s/r 为变 换前后图像的像素强度;空域滤波 spatial filtering,滤波核 filter=mask=kernel=template=window

2.2 【隔度变换】

线性变换: negative 变换(s=L-1-r,L 为灰度级), 增强灰色、 白色细节,尤其是黑背景主导下的白前景; Identity 变换(s=r) 对数 logarithmic 变换: log(s=c*log(1+r),c 常数, r>0), 拉伸 暗像素压缩亮像素,压缩动态范围; inverse-log(s=exp r)也叫 exponential 反之,但也压缩动态范围。

幂次 power-law 变换: gamma($s = c * r^{\gamma}$), $\gamma < 1$ 变亮, γ>1 变暗。相比对数变换,参数多,可调范围更大。

 $k=0\sim L-1$; $2.p(k) = n_k/MN$

直方图变换: 正向变换 $s=T(r), 0 \le r, s \le L-1, T$ 为单词 monotonically 增函数; 逆变换 r=T^(-1)(s)严格单调递减。

1、先计算原始图像强度值 r 的 PDF, 记作: 连续p r(r),

一般会给出;或离散的 p_k(r_k),需要自己计算。 2、按如下公式积分, 得到 s=T(r)或 S_k=T(r_k)

$$s=(L-1)\int_0^r p_r(\omega)d\omega$$

$$S_k=T(r_k)=(L-1)\sum_{j=0}^k p_r(r_j), k=0,1,2,\cdots,L-1$$
 s=T(r)的概率密度函数 $j=0$

 $p_s(s) = p_r(r) \left| \frac{dr}{ds} \right| = \frac{2r}{(L-1)^2} \left| \left| \frac{ds}{dr} \right|^{-1} \right| = \frac{2r}{(L-1)^2} \left| \frac{(L-1)}{2r} \right| = \frac{1}{L-1}$ 3、根据 p 计算出所有的 s, 若是离散值,则 sk 最后要四多 五入。对离散的: $p_s(s_k) = (H \overline{\rho} s_k \forall n \underline{\sigma} n \underline{h} f n_k n) / MN$

2.4【空域滤波】

相关w(x,y)空心五角星f(x,y),无需旋转卷积核直接滤波 卷积 $w(x,y) \star f(x,y)$, 180 度旋转卷积核

2.5【平滑低通滤波】

平滑滤波(有低通效果), 如 box filter=1/9*[1,1,1;1,1,1,1,1] aussian kernel=1/16*[1,2,1;2,4,2;1,2,1] Order-statistic 排序统计滤波,如中值(专去椒盐)

2.6【锐化高通滤波】

2.6.1 导数 derivative 及其性质

一阶导数 $\frac{\partial f}{\partial x} = f(x+1) - f(x)$ 二阶导数 $\frac{\partial^2 f}{\partial x^2} = f(x+1) + f(x-1) - 2f(x)$

2.6.2 laplacian 算子

定义为 $\nabla^2 f = \frac{\partial^2 f}{\partial x^2} + \frac{\partial^2 f}{\partial y^2}$, 离散情况下为计算核[0,1,0;1, 4,1;0,1,0]。 具有各向同性或旋转不变性($\nabla^2(f^{\theta}) = [\nabla^2(f^{\theta})]^{\theta}$ 线性性 $\nabla^2(f+g) = \nabla^2 f + \nabla^2 g$, 以及 $\frac{\partial}{\partial x}(f+g) = \frac{\partial f}{\partial x} + \frac{\partial g}{\partial x}$ 。 拉普拉斯锐化: $g(x,y) = f(x,y) + c[\nabla^2 f(x,y)]$, c取±1, 符号与滤波核的中心相同。

定义:
$$\nabla f \equiv \operatorname{grad}(f) \equiv \begin{bmatrix} g_x \\ g_y \end{bmatrix} = \begin{bmatrix} \frac{g_f}{2\sigma_x} \\ \frac{g_f}{\sigma_y} \end{bmatrix}$$
, 线性, 非旋转不变: 棒度幅值 magnitude: $M(x,y) = \operatorname{mag}(\nabla f) = \sqrt{g_+^2 + g_+^2}$,

非线性, 旋转可变 Roberts 交叉梯度算子: [-1,0;0,1]和[0,-1;1,0], 梯度值为

 $M(x,y) = [(z_9 - z_5)^2 + (z_8 - z_6)^2]^{1/2} \approx |z_9 - z_5| + |z_8 - z_6|$ Sobel 梯度算子,[-1.-2.-1;0.00;1,2.1],逆时z转90°,梯度值

第三章 频域滤波

.1【数学基础】

3.1.1 基本公式

欧拉公式: $z = x + jy = |z|(\cos\theta + j\sin\theta) = |z|e^{j\theta}$ 连续冲激函数 $\delta(t)$: $\delta(0) = \infty$, 否则为 0; 在全实轴积分 值为 1; 筛选性质 $\int_{-\infty}^{\infty} f(t)\delta(t-t_0)dt = f(t_0)$

离散冲激函数: $\delta(0) = 1$, 否则为 0; 在整数轴积分值为 筛选性质 $\sum_{x=-\infty}^{\infty} f(x)\delta(x-x_0) = f(x_0)$ 离散冲激序列 $S_{\Lambda T}(t) = \sum_{n=-\infty}^{\infty} \delta(t-n\Delta T)$

3.1.2 傅里叶级数

定义: 一组不同频率的正弦余弦函数的加权和, 是周期函 数的另一种时域表达形式。任意周期函数都可以展开为傅里 叶级数,即下式。w0=2pi/T 为基础频率

 $c_n = \frac{1}{T} \int_{-T} f(t)e^{-jn\omega_0 t} dt = \frac{1}{T} \int_{-T} f(t)e^{-jn(2\pi/T)t} dt$ 也可写作 $f(t) = a_0 + \sum_{n=1}^{+\infty} [a_n \cos(n\omega t) + b_n \sin(n\omega t)]$

fi cn 是 an 和 bn 的统一 给定函数 ft 求其傅里叶展开: 先用 f 求 c_n, 然后直接写出

3.1.3 傅里叶变换

f(t)即可。

定义: 将 f(t)变为 F(u), 获取(原时域函数展成傅里叶级数

 $F(\mu) = \int f(t)e^{-j2\pi\mu t}dt, f(t) = \int F(\mu)e^{j2\pi\mu t}d\mu$ 性质: 线性性(F(af+bg)=aF+bG 反之亦然)

时移性 $\mathcal{F}(f(t-t0)) = e^{-iut0}F(u)$ $\mathcal{F}^{-1}(F(u-u0)) = e^{iu0t}f(t)$ 缩放性 $\mathcal{F}(f(at)) = F(u/a)/|a|$ 对称性 $F(F(T)) = 2\pi f(-u)$

巻积(连续)F(f*g) = FG, $F(fg) = F*G/2\pi$ 求变换: 周期函数先傅展再傅变: 非周期函数直接傅变 例子:方波的傅里叶变换为辛格函数(常值也是)

$$f(t) = \begin{cases} A, -\frac{W}{2} \le t \le \frac{W}{2} \\ 0, \text{ otherwise} \end{cases}$$

$$F(\mu) = \int_{-\infty}^{\infty} f(t)e^{-j2\pi\mu t}dt = \int_{-\frac{W}{2}}^{\frac{W}{2}} Ae^{-j2\pi\mu t}dt$$

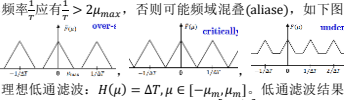
$$= AW \frac{\sin{(\pi W\mu)}}{\pi W\mu} \quad \mathbf{I} \sin{(m)} = \frac{\sin{(\pi m)}}{\pi m} \mathbf{1}$$

例子: 冲激函数 $\delta(t) \leftrightarrow 1$, 对于 $\delta(t-t_0)$ 有 $F(\mu) = \int_{-\infty}^{\infty} \delta(t - t_0) e^{-j2\pi\mu t} dt = \int_{-\infty}^{\infty} e^{-j2\pi\mu t} \delta(t - t_0) dt$ 例子: 冲激序列, 周期函数先展开再变换 $\mathbb{H} f(t) = \sum_{n=-\infty}^{\infty} \delta(t - n\Delta T) = \frac{1}{\Delta T} \sum_{n=-\infty}^{\infty} e^{j2\pi \frac{n}{\Delta T}t}$ 其傅里叶变换为 $F(\mu) = \frac{1}{\Lambda T} \sum_{n=-\infty}^{\infty} \delta \left(\mu - \frac{n}{\Lambda T} \right)$

指数函数 $e^{j2\pi t_0\mu}$, $F(\mu) = \delta(\mu - \mu_0)$ 连续卷积: $f(t) \star h(t) = \int_{-\infty}^{\infty} f(\tau)h(t-\tau)d\tau$ 卷积离散: $w(x) \star h(x) = \sum_{s=-a}^{a} w(s)h(x-s)$

 $F\left(\tilde{f}(t)\right) = F\left(f(t)\right) * F\left(\delta(t - n\Delta T)\right) = \frac{1}{\Lambda T} \sum_{n=-\infty}^{\infty} F\left(\mu - \frac{n}{\Lambda T}\right)$ 等价于以"为周期将F(μ)左右平移。

羊頻率 $\frac{1}{r}$ $\geq 2\mu_{max}$,否则可能頻域混叠(aliase),如下图



频带混叠的原因: 时域有限一般信号, 其频带一定无限第 采样带来截断); 时域无限的信号, 频带一定有限宽; 但若 颂带有限,且信号呈周期时,截断时可能整周期,此时不会 $(\operatorname{real}\{\mathcal{F}^{-1}[G(u,v)]\})(-1)^{x+y}$; 7.左上角切割 M*N 得结果。

3.3【1D 高散傅里叶】

有关。 $F(u) = \sum_{x=0}^{M-1} f(x)e^{\frac{-j2\pi}{M}ux}, f(x) = \frac{1}{M}\sum_{u=0}^{M-1} F(u)e^{\frac{j2\pi}{M}ux}$ DFT 和逆 DFT 都是周期性的,周期为 M,与时域信号有关 [F], $F(0) = \sum_{x=0}^{M-1} f(x)e^{-j\frac{2\pi(0)}{M}x}$, $F(1) = \sum_{x=0}^{M-1} f(x)e^{-j\frac{2\pi(1)}{M}x}$.

循环卷积,也叫圆卷积,计算g(x) = f(x) * h(x) $C_{m-1}^{M-1} f(m)h(x-m)$ 时,f 顺时针循环,h 逆时针循环。



 $g(0) = [1\ 2\ 0] * [3\ 4\ 5]$ $g(1) = [1\ 2\ 0] * [5\ 3\ 4]$ $g(2) = [1\ 2\ 0] * [4]$ 采样间隔与频率间隔: 时域采样间隔 ΔT , 周期 M, 信号的

3.4 【2D-FT、DFT】

2D 冲激: $\delta(0,0) = \infty$, 否则为 0; 在 tz 平面积分值为 1; 帝选性质 $\int_{-\infty}^{\infty} \int_{-\infty}^{\infty} f(t,z)\delta(t-t_0,z-z_0)dtdz = f(t_0,z_0)$; 离散 2D 冲激: 类似 1D

 $F(\mu,\nu)=\int_{-\infty}^{\infty}\int_{-\infty}^{\infty}f(t,z)e^{-j2\pi(\mu t+\nu z)}dtdz$ $f(t,z) = \int_{-\infty}^{\infty} \int_{-\infty}^{\infty} F(\mu,\nu) e^{j2\pi(\mu t + \nu z)} d\mu d\nu$ 采样定理: $1/\Delta T > 2\mu_{max}$, $1/\Delta Z > 2\nu_{max}$



空域混叠欠采样, 时域混叠欠采样、车轮倒转效应 解决方案: 散焦衰减高频, 均值滤波 $F(u,v) = \sum_{x=0}^{M-1} \sum_{y=0}^{N-1} f(x,y) e^{-j2\pi(ux/M + vy/N)}$

 $f(x,y) = \frac{1}{MN} \sum_{u=0}^{M-1} \sum_{v=0}^{N-1} F(u,v) e^{j2\pi(ux/M + vy/N)}$

3.5【2D-DFT 性质】

平移. $f(x,y)e^{j2\pi(u_0x/M+v_0y/N)} \Leftrightarrow F(u-u_0,v-v_0)$ $f(x-x_0,y-y_0) \Leftrightarrow F(u,v)e^{-j2\pi(x_0u/M+y_0v/N)}$ 极坐标变换: $x = r\cos\theta y = r\sin\theta u = \omega\cos\varphi v = \omega\sin\varphi$ $f(r, \theta + \theta_0) \Leftrightarrow F(\omega, \varphi + \theta_0)$, 旋转 f 后 F 也旋转相同角度 周期: F(u,v) = F(u+M,v+N), f(x,y) = f(x+M,y+N)频谱居中: $f(x)(-1)^{x+y} \sim F(u-\frac{M}{2},v-\frac{N}{2})$, 重拼(非平移) 离散函数是偶函数 iif. 所有样本加和为 0 实函数 f 的 fft 共轭对称: $F^*(u,v) = F(-u,-v)$ 虚函数 f 的 fft 共轭反对称: $F^*(u,v) = -F(-u,-v)$ 实函数的 FT: 实部偶,虚部奇;幅值偶,相位奇 虚函数的 FT: 实部奇, 虚部偶; 幅值奇, 相位偶 对称: f实+偶, F也为纯实+偶; f实+奇, F为纯虚+奇 幅值= $\sqrt{R^2 + I^2}$,相位= $\arctan\left[\frac{I}{n}\right]$,功率= $R^2 + I^2$

直流分量 $F(0,0) = M * N * \bar{f}(x,y)$ 平均值,是频谱最大分量 巻积: $f(x,y)*h(x,y)=\sum_{m=0}^{M-1}\sum_{n=0}^{N-1}f(m,n)h(x-m,y-n)$ を登误差: 使用循环卷积计算卷积时, 由于 f 和 h 的周期性 直接计算 f*g 会交叠,导致卷积结果错误。因此需要在 f 和 g 末尾处补 0,使得补零后长度 $P \ge len(f) + len(g) - 1$,避免下 ·周期误入.若两图像尺寸相等,则可能需要 P=2len(f)



DFT 算法对偶尺寸计算更快,因此最好 padding 到偶数 s_u 为基函数, $u \in Z$, 系数 $a_u = \langle s_u, f \rangle$ 频谱泄露:加窗截断时,f0处的能量分散到宽频带去。但 逐周期截断不会泄漏。改善: 可加合适窗函数或延长时间窗

. (.,,,,	
Rect[a,b]	$absinc(ua)e^{-j\pi(ua+vb)}$
$Sin(2\pi(\frac{u_0x}{M} + \frac{v_0y}{N}))$	$\frac{jMN}{2} \left[\frac{\delta(u + u_0, v + v_0)}{-\delta(u - u_0, v - v_0)} \right]$
$\cos(2\pi(\frac{u_0x}{M} + \frac{v_0y}{N}))$	$\frac{1}{2} \begin{bmatrix} \delta(u + u_0, v + v_0) \\ \delta(u - u_0, v - v_0) \end{bmatrix}$
$A2\pi\sigma^{2}e^{-2\pi^{2}\sigma^{2}(t^{2}+z^{2})}$	$Ae^{-(\mu^2+v^2)/2\sigma^2}$
$ \frac{\left(\frac{\partial}{\partial t}\right)^{m} f(t,z) \left(\frac{\partial}{\partial z}\right)^{m} f(t,z)}{\left(\frac{\partial}{\partial t}\right)^{m} \left(\frac{\partial}{\partial z}\right)^{m} f(t,z)} $	$(j2\pi\mu)^m F(\mu, v)$ $(j2\pi v)^n F(\mu, v)$ $(j2\pi\mu)^m (j2\pi v)^n F(\mu, v)$

3.6【频域滤波】

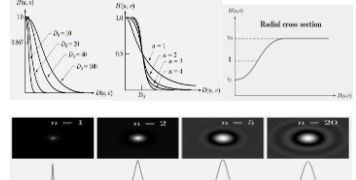
定义: $g = \mathcal{F}^{-1}(H(u,v)F(u,v)),H$ 为频率域传递函数 振铃效应: 空域填充 0, 导致边缘不连续, 进而导致振铃 特例: 高斯滤波器和一阶巴特沃斯没有振铃。 出现原因: 函数中存在梯度过大的"剧烈变化"区域

频域滤波步骤: 1.P=2M,Q=2N,填充 0; 2.在时域乘(-1)*+ 2移; 3.DFT; 4.构造大小为 P*Q 的实对称滤波器 H 并乘在 原图中心,得到 G; 5.IDFT 和零频点位移: $g_p(x,y)$ = 纽带: 时域与频域分析的纽带是卷积定理。

高斯: 高斯的 DFT、IDFT 还是实高斯函数。 $H(u) = q = u - 2^p$ $Ae^{-u^2/(2\sigma^2)}$, $h(x) = \sqrt{2\pi}\sigma Ae^{-2\pi^2\sigma^2x^2}$ 。当频域均值 0 方差 σ

3.7【低通频滤】

低通滤波: 中心高四周低, 过滤高频边缘、噪声 理想低通: H(u,v) = 1 if $D(u,v) < D_0$ else 0 高斯低通: $= e^{-D^2(u,v)/2D_0^2}$, $D_0 = \sigma$ 为截频,此处 H(u,v)=2/3巴特沃斯低通: $1/(1 + [D(u,v)/D_0]^2n)$, D_0 处 H()=0.5下 4 图为:高斯低通, 巴特沃斯低通, 同态(3.8),巴特沃斯环



3.8【高通频滤】

高通滤波: 中心低四周高, 保留边缘 高通滤波: $H_{hn} = 1 - H_{ln}(u, v)$

*n 阶巴特沃斯高通: $1/(1 + [D_0/D(u,v)]^2n)$

拉普拉斯: $\nabla^2 f = (\partial^2 f)/(\partial x^2) + (\partial^2 f)/(\partial y^2) = f(x +$ f(x,y) + f(x-1,y) + f(x,y+1) + f(x,y-1) - 4f(x,y); § [0,1,0;1,-4,1;0,1,0]; 頻率核 $H(u,v) = -4\pi^2(u^2 + v^2)$;拉普拉 斯锐化增强后图像为 $g(x,y) = f(x,y) + c\Delta^2 f(x,y)$,其中 c=-1; E频域中 $g(x,y) = \mathcal{F}^{-1}\{[1 + 4\pi^2D^2(u,v)]F(u,v)\}$

同态滤波: 1. 令 f=ir, p=ln(f)=ln(i)+ln(r);2. 计算 P=DFT(p), $P'=HP=H\mathcal{F}[ln(i)]+H\mathcal{F}[ln(r)]$.H 为同态核: $3.p' = IDFT(P') = ln(i)' + ln(r)'(非求导); 4.g = e^{p'} = i' * r'$

同 态 核 : $H(u,v) = (\gamma_H - \gamma_L)[1 - e^{-c[D^2(u,v)/D_0^2]}] + \gamma_L$ $\gamma_L < H(u,v) < \gamma_H, \gamma_L < 1 < \gamma_H, \ c$ 用于控制尖锐度:能够同 5.1 【图像退化模型】 **」**压缩动态范围,增加对比度

3.9【带通陷波】

理想带阻: H(u,v) = 0 if $D \in \left[D_0 - \frac{w}{2}, D_0 + \frac{w}{2}\right]$ else1 巴特沃斯带阻: $H(u,v) = 1/[1 + (DW/(D^2 - D_0^2))^{2n}]$ 高斯带阻: $H(u,v) = 1 - e^{-[(D^2 - D_0^2)/DW]^2}$, D0 截频, W 带宽 带通: 1-带阻。Notch: 陷波, 单点阻塞, 必定呈中心对称 J用高斯自己凑

第四章 图像变换

4.1【数学基础】

内积性质: $\langle u,v\rangle = \langle v,u\rangle^*$; $\langle u+v,w\rangle = \langle u,w\rangle + \langle v,w\rangle$ $\langle av, u \rangle = a \langle v, u \rangle$: $\langle v, v \rangle = 0$ iif v = 0, else $\langle v, v \rangle > 0$ 欧式空间 R^N (实数): $\langle u, v \rangle = u^T v = \sum_{i=1}^{N-1} u_i v_i$ 酉空间 $C^N(复数)$: $\langle u, v \rangle = u^{*T}v = \sum_{i=0}^{N-1} u_i^* v_i = \langle v, u \rangle^*$ 积分内积C[a,b](连续函数): $\langle f(x),g(x)\rangle = \int_a^b f^*(x)g(x)dx$ 向量夹角 $\theta = \cos^{-1}(\langle z, w \rangle / ||z|| ||w||)$ E交基: $\langle w_k, w_l \rangle = 0 (k \neq l)$, = 1 (k = l)双正交基: $\langle \widetilde{w_k}, w_l \rangle = 0 (k \neq l)$,基等于其对偶时简化为正交 展开系数: $z = \sum a_n w_n$ 时, 系数 $a_i = \langle w_i, z \rangle / \langle w_i, w_i \rangle$

4.2【变换的矩阵形式】

若反变换核s(x,u),则 s_u 如下。A 为变换矩阵,且 $AA^T = I$ s(0,u)] $S_{u,0}$ $A = [s_0 ... s_{N-1}]^T$ s(1,u) $S_{u,1}$ $T = AFA^T$ $F = A^TTA$ s(N-1,u)†算正交变换:检验基向量规范正交➡得到变换矩阵➡计算

复数: $T = AFA^T$, $F = A^{*T}TA^*$ 。连续: $f(x) = \sum_{n=-\infty}^{+\infty} a_n s_n(x)$

FT: $s_u(x) = e^{j2\pi ux/T}/\sqrt{T}$, $a_u = \int_{-T/2}^{T/2} f(x)e^{-j2\pi ux/T} dx/\sqrt{T}$ DFT: $T(u) = \sum_{n=1}^{N-1} f(x)e^{-j2\pi ux/N} / \sqrt{N}$, s_u to $\mathbb{E} T$ $\mathbb{E} \mathbb{E} N$

4.3【相关】

 $f \star g(\Delta x) = \int_{-\infty}^{\infty} f^*(x) g(x + \Delta x) dx = \langle f(x), g(x + \Delta x) \rangle$ $\Delta x = 0$ 时 $f \star g(0) = \langle f(x), g(x) \rangle$, 因此 $a_u = \langle s_u, f \rangle = s_u(0) \star f$ 离散形式: $T(u) = \langle s_u, f \rangle = s_u \star f(0)$ 【此处星号为空心】

4.4【1D基本变换与时频分析】

海森堡不确定性: $\sigma_r^2 \sigma_r^2 > 1/(16\pi^2)$ 4.5【2D 基本变换】

4.6【离散余弦变换】

 $s(x,u) = a(u) \cos((2x+1)u\pi/2N), a(u) = \sqrt{1/N} (u=0),$ 2.几何: 区域求积开 M*N 次根: 损失细节更少 $a(u) = \sqrt{2/N}(u = 1, 2, ..., N - 1)$ $a(u)a(v)\cos((2x+1)u\pi/2N)\cos((2y+1)v\pi/2N)$ DCT: ①将 f 对称拓展为 g, ② $t_F = A_F g = [t_1, t_2]^T$, ③

4.7【沃尔什-哈达玛 WHT】

递推变换矩阵: $A_W = H_N/\sqrt{N}$, $H_2 = [1,1;1,-1]$, H_{2N} $[H_N, H_N; H_N, -H_N]$

列率: A_W每行符号变化数,如8阶Aw为07341625 列率排序: 对 A_w 按列率排序, 得 $A_{w'}$: 变换: 变换结果 $t_{w'}$ =变换矩阵*序列, $t_{w'} = A_{w'} * f$

 $h(u) = e^{-j\pi u/2N}, s = [1/\sqrt{2}, 1, ..., 1]^T, (4)t_c = Re\{s \circ h \circ t_1\}$

4.8【haar 变换】

$$h_{u}(x) = \begin{cases} 1, & u = 0 \text{ or } 0 \le x \le 1 \\ 2^{\frac{p}{2}}, & u > 0 \text{ or } q/2^{p} \le x < (q+0.5)/2^{p} \\ -2^{\frac{p}{2}}, & u < 0 \text{ or } (q+0.5)/2^{p} \le x < (q+1)/2^{p} \\ 0, & other \end{cases}$$

$$s(x,u) = (h_u (x/N))/\sqrt{N}, x = 0.1, ..., N - 1$$
 (反变换核)
$$H_N = \begin{bmatrix} h_0(0/N) & h_0(1/N) & ... & h_0(N-1/N) \\ h_1(0/N) & h_1(1/N) & ... & h_1(N-1/N) \\ \vdots & \vdots & \ddots & \vdots \\ h_{N-1}(0/N) & h_{N-1}(1/N) & ... & h_{N-1}(N-1/N) \end{bmatrix}$$

$A_H = H_N / \sqrt{N}$ 4.9【小波变换】

哈尔变换: $N=2, A_H=1/\sqrt{2}[1\ 1; 1\ -1]$: N=4, $A_H=1/2[1\ 1; 1\ 1-1\ -1; \sqrt{2}\ -\sqrt{2}\ 0\ 0; 0\ 0\sqrt{2}\ -\sqrt{2}]$ 尺度函数 $\varphi_{i,k}(x) = 2^{j/2}\varphi(2^jx - k)$ $j,k \in \mathbb{Z}$

 $\varphi_{0,k}(x) = \varphi_{1,2k}(x)/\sqrt{2} + \varphi_{1,2k+1}(x)/\sqrt{2}$ 例: 单位哈尔尺度函数 $\varphi(x)=1$ if $x\in[0,1)$ else 0 $\varphi_{0,0}(x) = \varphi(x); \varphi_{0,1}(x) = \varphi(x-1); \varphi_{1,0}(x) = \sqrt{2}\varphi(2x)$ 细化方程: $\varphi(x) = \sum_{k \in \mathbb{Z}} h_{\varphi}(k) \sqrt{2} \varphi(2x - k)$ 尺度函数系数 $h_{\omega}(k) = \langle \varphi(x), \sqrt{2}\varphi(2x - k) \rangle$ 小波函数: $\psi(x) = \sum_k h_{\psi}(k) \sqrt{2} \varphi(2x - k)$ 小波函数细化方程: $\psi(x) = \sum_k h_{\psi}(k) \sqrt{2} \varphi(2x - k)$ 小波函数系数 $h_{\psi}(k) = (-1)^k h_{\omega}(1-k)$

级数展开 $f(x) = \sum_k c_{j_0}(k)\varphi_{j_0,k}(x) + \sum_{j=j_0}^{\infty} \sum_k d_j(k)\psi_{j,k}(x)$ $c_{j_0}(k) = \langle f(x), \varphi_{j_0,k}(x) \rangle = \int f(x) \varphi_{j_0,k}(x) dx$ $d_j(k) = \langle f(x), \psi_{j,k}(x) \rangle = \int f(x) \psi_{j,k}(x) dx$ 適散小波変換 $T_{\varphi}(0,0) = \sum_{x=0}^{N-1} f(x) \varphi^{*}(x) / \sqrt{N}$ $T_{\psi}(j,k) = \sum_{x=0}^{N-1} f(x) \psi_{j,k}^{*}(x) / \sqrt{N}$

逆: $f(x) = \left[T_{\varphi}(0,0)\varphi(x) + \sum_{j=0}^{J-1} \sum_{k=0}^{2^{J}-1} T_{\psi}(j,k)\psi_{j,k}(x)\right]/\sqrt{N}$ $N = 2^{J}$, j = 0,1,...,J-1, $k = 0,1,...,2^{J}-1$ 维 小 波 变 换 : $\varphi(x,y) = \varphi(x)\varphi(y), \psi^{H}(x,y) = 5.10$ 【几何平均滤波】 $\psi(x)\varphi(y),\psi^{\mathrm{v}}(x,y)=\varphi(x)\psi(y),\psi^{\mathrm{D}}(x,y)=\psi(x)\psi(y)$

第五章 图像复原

退化模型, 退化图=原图×退化函数+噪声 $g(x,y) = h(x,y) \star f(x,y) + \eta(x,y)$ 频域: G(u,v) = H(u,v)F(u,v) + N(u,v)

5.2【噪声模型】

来源:图像采集和传输

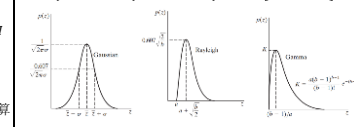
空间属性: 与位置坐标无关, 与图像无关 频率属性: 白噪声的 FFT 频谱是常数。 噪声的概率密度函数:

1.高斯噪声 $p(z) = (1/\sqrt{2\pi}\sigma)e^{-(z-z)^2/2\sigma^2}$ 2.Rayleigh 噪声p(z) =

 $2/b*(z-a)e^{(-(z-a^2)/b)}$ if $z \ge a$ else 0 $\bar{z} = a + \sqrt{\pi b/4}, \ \sigma^2 = (b(4-\pi))/4$ 3.Erlang 厄蓝 gamma 噪声p(z) = $(a^b z^{b-1})/(b-1)! * e^{(-az)}$ if $z \ge 0$ else 0

 $\bar{z} = b/a$, $\sigma^2 = b/a^2$ 4.指数噪声 $p(z) = ae^{-(-az)}$ if $z \ge 0$ else 0 5.均匀噪声p(z) = 1/(b - a) if z ∈ [a,b] else 0 $\bar{z} = (b+a)/2$, $\sigma^2 = (b-a)^2/12$

 $p(z) = [Ps, Pp, 1 - (Ps + Pp)] \sim z = [2^k - 1, 0, V]$



周期噪声:源于成像时的电路、电子元件噪声 噪声参数估计: 1.噪声区域取样; 2.计算直方图; 3.估计均 值方差,套噪声模型确定参数

5.3【空域滤波复原】

退化模型中 h 为 l, 此时噪声模型未知, 无法直接作差 均值滤波器: 若尺寸为 M*N 的区域

.算术:区域求和除 M*N

s(x,y,u,v) = 3. 调和谐波: $f(x,y) = mn/[\sum 1/g(s,t)]$, 对盐+高斯,不对椒 4.逆谐波: $[\sum g(s,t)^{Q+1}]/[\sum g(s,t)^{Q}],Q$ 为阶,正对椒负对盐 排序统计滤波器: 1.中值, 对单峰双峰噪声都好, 多次中值= 模糊; 2.最大, 取区域最大值, 对椒, 找亮点; 3.最小, 区域 最小值,对盐,找暗点: 4.中点,区域最大最小/2,对高斯、 均匀等随机噪声: 5.Alpha 裁剪均值, 去最低 d/2 和最高 d/2 再均值(分母是 mn-d), 对椒盐+高斯

5.4【周期噪声的频域复原】 带通、带阻滤波, 把噪声点覆盖掉

5.5【线性位置不变退化】

任意退化函数 H 可表示为 g(x,v)=H[f(x,v)]线性退化判定: H[af+bg]=aH(f)+bH(g)

位置无关退化判定: H[f(x-a,y-b)]=g(x-a,y-b)对任意 xyab 成 退化可建模: 可将位置无关、线性的退化建模为退化函数 卷积全图,进行退化。复原=找到逆转这一过程的滤波器。 证明: 由冲击函数试探属性有

$$g(x,y) = H \left[\int_{-\infty}^{\infty} \int_{-\infty}^{\infty} f(\alpha,\beta) \delta(x-\alpha,y-\beta) d\alpha d\beta \right]$$

第一类叠加积分: 当退化线性, 此时上式变为 $\int_{-\infty}^{\infty} \int_{-\infty}^{\infty} f(\alpha, \beta) H[\delta(x - \alpha, y - \beta)] d\alpha d\beta, \quad \text{if } h(x, \alpha, y, \beta) =$ $H[\delta(x-\alpha,y-\beta)]$, 优化中, H 一般为点传播函数 PSF。若 退化位置无关,则可得 G=HF+N。

5.6【退化函数 H 估计】

观察估计法 (盲反卷积): 1.原图截出 gs; 2.增强 (锐化等 成fs; 3.FFT 得 GsFs; 4.退化函数认定为 Hs=Gs/Fs

试验确定法: 用冲激响应在成像系统下拍照得 g, fft 得 G, 则退化函数 H=G/A, A 为常数。

建模估计法: 湍流模型 $H(u,v) = e^{(-k(u^2 + v^2)^{5/6})}$ 运动模糊模型 $\int 0^T e^{-j2\pi[ux_0(t)+vy_0(t)]}dt$, 其中 x0(t)是竖 直方向运动估计函数。例, x0(t) = at/T, y0(t) = bt/T时, 运动模糊核为

 $H(u,v) = \frac{1}{\pi(ua+vb)} \sin\left[\pi(ua+vb)\right] e^{-j\pi(ua+vb)}$ 5.7【直接逆滤波复原】 不管噪声, 直接除, $\hat{F} = G/H$ 。缺点:

噪声未知,无法完美复原;受 H中的 0 点和微小量影响较大。

5.8【维纳滤波】最小均方误差滤波 误差: $e^2 = E\{(f - \hat{f})^2\}$ 。三大假设: 噪声图像无关,存在 0 均值, f 由 f 的线性计算而得

 $|H(u, v)|^2$ $f = \left[\frac{1}{H(u,v)} \frac{|H(u,v)|^2}{|H(u,v)|^2 + S_{\eta}(u,v)/S_f(u,v)} \right] G(u,v)$ $|*|^2 = H^* *H$, $\Im \approx \text{ if } S_n(u,v) = |N(u,v)|^2$, $S_t(u,v) =$

$|F(u,v)|^2$, η/f 比值为信噪比 K 5.9【受限最小二乘滤波】必不会考

直接逆滤波和 wiener 滤波的组合

$$f(u,v) = \begin{bmatrix} H^*(u,v) \\ [H(u,v)]^2 \end{bmatrix}^{\alpha} \begin{bmatrix} H^*(u,v) \\ [H(u,v)]^2 + \beta \end{bmatrix} \begin{bmatrix} S_{\eta}(u,v) \\ S_{\tau}(u,v) \end{bmatrix} G(u,v)$$

第六章 形态学处理

6.1 【基本概念】 图像反射: 中心对称 $\hat{B} = \{w \mid w = -b, \text{ for } b \in B\}$ 图像平移: 整体移动(B)_z = $\{c \mid c = b + z, \text{ for } b \in B\}$ 结构元素 SE: 十字, 矩形, 方, 椭圆, 圆 (注意中心点) 结构元素的使用:用S遍历原集A的每个内点【非边缘】

腐蚀: 不对 SE 取反, 仅保留完全重合区域。能消除联通区, 收缩边界, 分离粘连, 去除图像外部无意义的亮点噪声。 $A \ominus B = \{z \mid (B)_{\alpha} \subseteq A\}$ 膨胀: 先对 SE 取反,有相交区域即保留。能延年益寿,合

并断裂,向外扩展,填补空洞,消除图像内暗点。 $A \oplus B = \{z \mid (\hat{B})_z \cap A \neq \emptyset\}$ 将 SE 看做卷积 mask, 对比空域卷积: 相同处为都要翻转

再运算:不同为膨胀非线性,卷积线性。 6.3 【开闭】

开:空心圆,先腐蚀后膨胀。 闭:实心圆,先腐蚀后膨胀。 作用:均平器於血 作用: 均平滑轮廊, 目不明显改变其面积: 开(中)可消 除凸出小物体,分离狭窄纤细区,抑制亮细节;闭(右)可

填充孔洞,闭合狭窄区,连接临近物体,抑制暗细节 6.4 【击中击不中变换 HMT】

作用: 检测特定形状在图中位置, 包含 A 击中 B1 且 A 补 击中 B2 的所有点。(简化 HMT: $A \odot B = (A \ominus B_1)$)

流程: 1.定义待检测形状 D, D 的父集 W; 2.令 D 为前景 B1, W-D 为背景 B2; 3.[B1 腐蚀 A]与[B2 腐蚀 A 补]交集, 联

2.3 【直方图均衡化】 直方图 histogram 统计: 1.计算出每个灰度级的个数 n_k ,

2.3.1 直方图均衡 HE, 概率积分变换

3.2【采样定理】 离散冲激采样: $\tilde{f}(t) = f(t)s_{\Delta T}(t) = \sum_{n=-\infty}^{\infty} f(t)\delta(t-n\Delta T)$

采样定理:若有限带宽函数最大频率为 μ_{max} ,则离散冲激采

的反变换时域结果为 $f(t) = \sum_{n=-\infty}^{\infty} \operatorname{sinc}\left[\frac{t-n\Delta T}{\Delta T}\right] f(n\Delta T)$

定义: 用离散冲激序列对连续函数采样, Ϝ(μ)= $\sum_{n=-\omega}^{\omega} f_n e^{-j2m\Delta T \mu} \cdot f_n = f(n\Delta T)$ 离散, $\vec{F}(\mu)$ 连续,周期与 μ 1 种,对应空域均值为 0.但方差为 $1/2\pi\sigma$ 某些滤波核=高斯 A· $\underline{j}\underline{\underline{u}}, f(0) = \frac{1}{M} \sum_{u=0}^{M-1} F(u) e^{j\frac{2\pi}{M}u(0)}...$



6.5 【灰度图像模板匹配】

相关系数: $c(x,y) = \sum_{s} \sum_{t} w(s,t) f(x+s,y+t)$ 归一化相关系数:减均值,除两方差。最后一定在±1之

 $\textstyle \sum_s \sum_t \left[w(s,t) - \overline{w} \right] \left[f(x+s,y+t) - \bar{f}(x+s,y+t) \right]$

 $\{\sum_{s} \sum_{t} [w(s,t) - \overline{w}]^{2} \sum_{s} \sum_{t} [f(x+s,y+t) - \overline{f}(x+s,y+t)]^{2}\}$ 流程: 原图 padding,模板遍历全图计算归一化相关系数,

7图像分割

7.1 基本概念: 基于边缘的, 基于区域的

7.2 点线边检测

【背景】边缘像素:强度突变的像素

边缘:连接的一组边缘像素

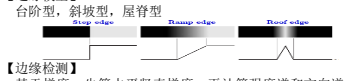
- 阶导: f(x+1)-f(x); 二阶导: f(x+1)+f(x-1)-2*f(x)

【点检测】检测突出点

流程: 用 laplacian 核[111,1-81,111]卷积,保留>阈值的点 【线检测】 整体线: 用 Laplacian 核卷积, 取正数(或取绝对值, 较少

方向线: 四个方向卷积核卷积, 四响应中最大者。 水平: [-1-1-1;222;-1-1-1],垂直: (90°水平旋转)

+45° [2-1-1;-12-1;-1-12],-45°: (45° 左右翻转) 【 计缘模型】



基于梯度: 先算水平竖直梯度, 再计算强度谱和方向谱。 其中, 边缘的梯度方向与边缘垂直。

梯度算子: gx,gy=[下][右]。垂直梯度[-1;1][-1,1], Roberts[-1 0;0 1][0 -1;1 0], Prewitt 0-90° [-1-1-1;000;111][逆]或 45° [011;-101;-1-10][順], Sobel 0-90° [-1-2-1;000;121][逆]或 45° [012:-101:-2-10][順]。

梯度幅值: M(x,y) = |gx| + |gy|, 或 gxgy 平方和开根号 梯度幅角: 反正切(gy/gx)

Canny 算子: 空域 2D 高斯平滑; 梯度算子计算横纵梯度、 幅值图、幅角图; 根据幅角, 沿梯度方向(非边缘方向)对幅值 图做 NMS: 双阈值算法,去掉假边缘,连接真边缘。

NMS 流程: 1.根据幅角图,将每个像素点的梯度方向,量 化为横竖撇捺四类: 2.对某点,沿其梯度方向在其 3×3 邻域 中取 3 个点, 若中心点梯度幅值最大则保留该点, 否则置零; 3.遍历全图做 2, 即得 NMS 结果。

$$g_N(x, y) = \begin{cases} M(x, y), & \text{if } M(x, y) > \text{ two neighbors along } d_k \\ 0, & \text{otherwise} \end{cases}$$

双阈值: 设定强弱阈值(TH/TL=2 或 3), 根据每个点梯度幅 值 $q_N(x,y)$ 判断;小于弱阈值点置零,大于强阈值点置 1(确定 边缘); 中间的点则判定, 若与强阈值点 8 连通, 则置 1(但不 参与下次判定), 否则置零。

Canny 初衷: 所有边缘均被找到,错误率低; 定位边缘尽 可能接近真实边缘; 检测器指出边缘是单一的, 不应指出多 个像素边缘。Canny 特点: 改进边缘细节, 拒绝无关特征, 所得边缘连续、细、直。

【直线检测】hough变换: 从空域到参数域的变换

笛卡尔坐标系中概念:原图中点(xi,yi)代表的一簇直线 (yi=axi+b),对应参数空间一条线(b=-xia+yi); 原图中两点 (x1,y1)(x2,y2)确定了一条直线(两簇的交集),对应参数空间两 线交点(b=-x1a+y1 与 b=-x2a+y2 的交点)。

极坐标: 法线式($x\cos\theta$ + $y\sin\theta$ = ρ , θ \in [±90])。点(xi,yi) 确定的一簇直线(xicos θ +visin θ = ρ), 在 $\rho\theta$ 平面中代表一曲 线; 在空域中两点确定直线, 在ρθ平面中代表两曲线交点。

用极坐标的理由: x=c 无法在笛卡尔坐标参数空间表示。 利用 hough 变换检测直线: 1.canny 等获得二值化边缘图像; 将每个点映射到极坐标参数空间ρθ平面中,得多个连续曲 线; 3.划分网格, 对曲线离散化, 统计网格中点的数目; 4.包 含点最多的网格, 其所代表的参数即为直线参数

计算步骤: 1、离散化 θ =-45, 0,45,90; 2.根据所给二值化 图像, 计算每个点的 $\rho = x\cos\theta + y\sin\theta$ (每个点对应多个 ρ , 这里是 4 个), 得到行 n 列 θ , 内容为 ρ 的表格: 3.统计表格 中 (ρ, θ) 出现频数: 4. 频数最高的 ρ 和 θ 即为检测的直线参数。

考虑右图中的两个图像子集 S_1 和 S_2 。参考 2.5 节,假设 $V = \{1\}$, 确定这两个子集是否是: (a)* 4 邻接的; (b) 8 邻接的; (c) m 邻接的。

令p、q如图所示,则对于 $V = \{1\}$ 有:

(a) S_1 与 S_2 不是4邻接的,因为p不在集合 $N_4(q)$ 中。

(b) S, 与S, 是8 邻接的,因为p在集合N_s(q)中。

(c) S 与 S 是 m 邻接的,因为 n 在集合 N (a)中,日集合 N (n)∩ N (a) 中没有值在 V 中的優素

(a)*如 2.5 节所示, 令 $V = \{0, 1\}$ 是定义邻接的灰度值集合。计算右图中 p 和 q 之 间的最短 4 通路、8 通路和 m 通路的长度。如果在这两点之间不存在一个特 殊的通路, 试说明原因。

(b) 令 V= {1,2}, 重做(a)问。



(a) 令r如图所示,因为q与r不是4邻接的,所以不存在4通路。

最短8通路与m通路如图所示,长度分别为4和5。

中的像素值); (a)* f(x,y)+g(x,y); (b) f(x,y)-g(x,y); (c) $f(x,y)\times g(x,y)$; (d) f(x,y)+g(x,y)。证明 每种情况下这些直方图是如何形成的。算术运算是对应像素运算、详见 2.6 节中的说明。

由于直方图不包含图像的空间属性信息,因此只有至少一个图像中的所有像素为相同强度,才能根据 直方图确定还算系形成图像的直方图。 方图的定义可知。 h.(r)表示在图像 (x, y)中巡疫为r.的像条个数,使逻图像 g(x, y)中的所有像 下图所示的两个傅里叶频谱是同一幅图像的傅里叶频谱 度均点、 非今,是未两题的图像分式流量后形成图像的调度。则有以下结论。

28.55/27.4、ア (1)、28.55/28.11/28.2 因像对应相域时,可得 $u_k=r_k-c$, $h_{\mathrm{ASF}}(u_k)=h_f(r_k)$,即 h_{ASF} 在高度上与 h_f 上对应相等,在强信号谱明显增强的原因。

(c) 当两幅图像对应相乘时,可得 $u_k = c \cdot r_k$, $h_{prot}(u_k) = h_f(r_k)$, 即 h_{prot} 在高度上与 h_f 上对应相等,

灰度在区间[0,1]内的图像具有如右图所示的概率密度函数 p(r)。我们 希望变换这幅图像的灰度级、以便它们在所示的图形中具有规定的 $p_r(z)$ 。假设各个量是连续的,求实现这一目的的变换(用r和z表示)。

通过直方图均衡化得到:
$$s=\int\limits_0^r p_r(\omega)d\omega=\int\limits_0^r (-2\omega+2)d\omega=-r^2+2r$$

$$s = \int\limits_0^z p_z(\omega) d\omega = \int\limits_0^z 2\omega d\omega = z^2 \qquad \text{th} \ z \ge 0 \ \text{TF} \ \Re z : \qquad \qquad z = \sqrt{-1}$$

后的坐标由下式给出: $x' = x\cos\theta - y\sin\theta$ $\forall y' = x\sin\theta + y\cos\theta$

式中,
$$(x,y)$$
 和 (x',y') 分别是旋转前和旋转后的坐标。
拉普拉斯算子定义为 $\nabla^2 f = \frac{\partial^2 f}{\partial x^2} + \frac{\partial^2 f}{\partial y^2}$ 对于未旋转的坐标有 $\nabla^2 f = \frac{\partial^2 f}{\partial x^2} + \frac{\partial^2 f}{\partial x^2}$

$$\chi \text{th} \begin{cases} x' = x \cos \theta - y \sin \theta \\ y' = x \sin \theta + y \cos \theta \end{cases} \begin{cases} x = x' \cos \theta - y' \sin \theta \\ y = x' \sin \theta + y' \cos \theta \end{cases}$$

$$\frac{\partial f}{\partial x^{i}} = \frac{\partial f}{\partial x} \frac{\partial x}{\partial x^{i}} + \frac{\partial f}{\partial y} \frac{\partial y}{\partial x^{i}} = \frac{\partial f}{\partial x} \cos \theta + \frac{\partial f}{\partial y} \sin \theta$$

$$\frac{\partial^2 f}{\partial x^2} = \frac{\partial^2 f}{\partial x^2} \cos^2 \theta + \frac{\partial}{\partial x} \left(\frac{\partial}{\partial y} \right) \sin \theta \cos \theta + \frac{\partial}{\partial y} \left(\frac{\partial}{\partial x} \right) \cos \theta \sin \theta + \frac{\partial^2 f}{\partial y^2} \sin^2 \theta$$

$$\frac{\partial^2 f}{\partial x^2} = \frac{\partial^2 f}{\partial x^2} \cos^2 \theta + \frac{\partial}{\partial x} \left(\frac{\partial}{\partial y} \right) \sin \theta \cos \theta + \frac{\partial}{\partial y} \left(\frac{\partial}{\partial x} \right) \cos \theta \sin \theta + \frac{\partial^2 f}{\partial y^2} \sin^2 \theta$$

$$\frac{\partial^2 f}{\partial y'^2} = \frac{\partial^2 f}{\partial x^2} \sin^2 \theta - \frac{\partial}{\partial x} \left(\frac{\partial f}{\partial y} \right) \cos \theta \sin \theta - \frac{\partial}{\partial y} \left(\frac{\partial f}{\partial x} \right) \sin \theta \cos \theta + \frac{\partial^2 f}{\partial y^2} \cos^2 \theta$$

的变换 $\tilde{F}(\mu)$ 由 $F(\mu)$ 的周期副本组成,因此 $\tilde{F}(\mu)$ 也是纯虚数。画出一个类似于图 4.6 的图表,并根据所 (a) 函数f(t)的周期为 $t = \frac{1}{t}$

(b) 函数 (co)的频率为a

(b) 函数 f(n) 的频率为n(c) 若 f(n) 的采样率高于杂奎斯特率,则取样后的函数的傅里叶变换与原函数相同,可 因此,原式可表示为 $\nabla^2 f(x,y) \Leftrightarrow -4\pi^2 \left[\left(u - \frac{M}{2} \right)^2 + \left(v - \frac{N}{2} \right)^2 \right] F(u,v)$ 无损的恢复为原函数。

取样后的函数如图中曲线所示 (e) 若以奈奎斯特率对f(r)进行采样,则所有的正负脉冲将抵消,傅里叶变换为 0. 无

证明如下二维连续傅里叶变换对成立。

(a) 对于冲激函数
$$\delta(t,z)$$
 有 $\int_{-\infty}^{\infty} \delta(t,z) dt dz = 1$ 且根据筛选性质,则有:

$$\Im(\delta(t,z)) = \int_{-\infty}^{\infty} \int_{-\infty}^{\infty} \delta(t,z) e^{-j2\pi(\mu + \nu z)} dt dz = \int_{-\infty}^{\infty} \int_{-\infty}^{\infty} e^{-j2\pi(\mu + \nu z)} \delta(t,z) dt dz = e^{-j2\pi(\mu + \nu z)} \Big|_{v=0,z=0}^{\infty} = e^{0} = 1$$

由傅里叶逆变换
$$\mathfrak{F}^{-1}(1) = \int_{-\infty}^{\infty} 1 \cdot e^{j2\pi(\mu+\nu z)} d\mu d\nu = \delta(t,z)$$
 得 $\int_{-\infty}^{\infty} e^{j2\pi(\mu+\nu z)} d\mu d\nu = \delta(t,z)$

(b)
$$\Im(1) = \int_{-\infty}^{\infty} \int_{-\infty}^{\infty} 1 \cdot e^{-j2\pi(\mu x + \nu z)} dt dz = \delta(\mu, \nu)$$

(c)
$$\Im \left(\delta \left(t - t_0, z - z_0\right)\right) = \int_{-c_0}^{\infty} \int_{-c_0}^{\infty} \delta \left(t - t_0, z - z_0\right) e^{-j2\pi(\mu\nu\tau)} dt dz$$

$$= \int_{-c_0}^{\infty} e^{-j2\pi(\mu\nu\tau)} \delta \left(t - t_0, z - z_0\right) dt dz$$

$$= e^{-j2\pi(\mu\nu\tau)} \int_{0c_0}^{\infty} \int_{-c_0}^{\infty} e^{-j2\pi(\mu\nu\tau)} dt dz$$

(d)
$$\Im(e^{j2\pi((\mu+z_0z))}) = \int_{-\infty}^{\infty} \int_{-\infty}^{\infty} e^{j2\pi((\mu+z_0z))} e^{-j2\pi((\mu+z_0z))} dtdz = \int_{-\infty}^{\infty} \int_{-\infty}^{\infty} e^{-j2\pi((\mu-z_0)z)} dtdz = \delta(\mu-t_0, \nu-z_0)$$

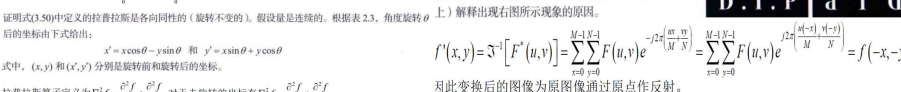
 $\Im(\cos(2\pi\mu_0 t + 2\pi\nu_0 z)) = \int \int \cos(2\pi\mu_0 t + 2\pi\nu_0 z)e^{-j2\pi(\mu+\nu z)}dtdz$

 $= \frac{1}{2i} \left[\delta \left(\mu - \mu_0, v - v_0 \right) - \delta \left(\mu + \mu_0, v + v_0 \right) \right]$

除非原图像的四个边界本身就是纯黑的, 否则用 0 填充图像会在原图像的

直和水平轴上引入了高频分量,因此在右侧的频谱中,沿中心纵轴和横轴的信号谱明显 若需系数不为 $\mathbf{0}$,则需满足 $\begin{bmatrix} 0 \le x < 1 \\ 0 \le 2x - k < 1 \end{bmatrix}$ 对 x 有解

以左侧的图像; (b)计算 DFT; (c)取变换的复共轭; (d)计 算傅里叶反变换; (e)用(-1)*** 乘以结果的实部。(从数学



完成如下工作

(a) 证明两个连续变量 t 和 z 的连续函数 f(t, z)的拉普拉斯变换满足如下傅里叶变换对

 $\nabla^2 f(t,z) \Leftrightarrow -4\pi^2 (\mu^2 + \nu^2) F(\mu,\nu)$ (提示: 见式(3.50)和表 4.4 中的第 12 项。)

(b)*(a)问中的结果仅对连续变量成立。对于离散变量,如何实现连续频率域传递函数

(c) 如例 4.21 所示、频率域中的拉普拉斯变换类似于图 3.46(d)中的结果、后者是用中心系数为-8 的空间核 得到的。说明频率域结果与图 3.46(c)中的结果不相似的原因、图 3.46(c)是用中心系数为-4 的核得到的。

(a) 拉普拉斯算子的定义为
$$\nabla^2 f(t,z) = \frac{\partial^2 f(t,z)}{\partial t^2} + \frac{\partial^2 f(t,z)}{\partial z^2}$$

则它的傅里叶变换为

$$\Im\left[\nabla^2 f(t,z)\right] = \Im\left(\frac{\partial^2 f(t,z)}{\partial t^2}\right) + \Im\left(\frac{\partial^2 f(t,z)}{\partial z^2}\right) = \left(\jmath 2\pi\mu\right)^2 F(\mu,\nu) + \left(\jmath 2\pi\nu\right)^2 F(\mu,\nu) = -4\pi^2 \left(\mu^2 + \nu^2\right) F(\mu,\nu)$$

(b) 对上述函数进行采样,设 $H(u,v) = -4\pi^2(u^2 + v^2)$

对于高散采样:
$$w = 0,1,2,\cdots,M-1$$
, $v = 0,1,2,\cdots,N-1$ 有 $H(u,v) = -4\pi^2 \left[\left(u - \frac{M}{2} \right)^2 + \left(v - \frac{N}{2} \right)^2 \right]$
田地 原子可来示"子(アン) 4 $\pi^2 \left[\left(v - \frac{M}{2} \right)^2 + \left(v - \frac{N}{2} \right)^2 \right]$

(d) 若 1/0 的采样率低于余奎斯特率,则取样后的函数的傅里叶变换与频率低于原函数,(c) 拉普拉斯滤波器是各向同性的,因此它的对称性更接近于中心为-8 的空间模板。如 果使用中心为-4 的空间模板,由于缺少对角线项,则更加注重水平和垂直方向上的处

> 高斯低涌滤波器对左图进行低涌滤波, 然后用一个高 斯高通滤波器对结果进行高通滤波得到的。图像大小 为 420×344 像素, 两个滤波器传递函数的截止频率都

(a)*说明右图中戒指的中心部分明亮且实心的原因,考 虑滤波后图像的主要特征是手指、腕骨的边缘和这 些边缘之间的暗色区域。换句话说, 因为高通滤波 器会消除直流项, 所以你并不希望高通滤波器将戒 指内部的恒定区域渲染为暗色吗?



(原图像由密歇根大学医学院解剖科学系的

(a) 戒指区域在经过高通变换后,中心区域应该是暗的,但由于又经过了一个低通滤波 器,将暗的中心与亮的边缘进行了平均,因此形成了一片。又因为戒指边界上亮度的突 变性比图像中的其他地方高得多,因此主导了结果的显示。

(b) 傅里叶滤波是一个线性变换过程, 处理的顺序不会影响结果

$$\boldsymbol{s}_0 = \begin{bmatrix} 1 \\ 2 \\ 1 \end{bmatrix} \qquad \boldsymbol{s}_1 = \begin{bmatrix} 1 \\ 0 \\ -1 \end{bmatrix} \qquad \boldsymbol{s}_2 = \begin{bmatrix} -1 \\ -1 \end{bmatrix}$$

(b)*它们是规范正交的吗?如果不是、将它们归一化以创建规范正交向量的一个变换矩阵

(c) 利用(b)问的结果,写出 s_0, s_1 和 s_2 的一个正交变换矩阵。

(d) 计算列向量 f = [3-65] 的变换。 (c) $A = \begin{bmatrix} e_0 & e_1 & e_2 \end{bmatrix}^T = \frac{1}{\sqrt{6}} \begin{bmatrix} \sqrt{3} & 0 & -\sqrt{3} \\ \sqrt{2} & -\sqrt{2} & \sqrt{2} \end{bmatrix}$ (e) 计算(d)问中结果的反变换。

 $(s_i, s_i) = 1 + 0 - 1 = 0$, 因此它们是正交的

 $\langle s_0, s_2 \rangle = 1 - 2 + 1 = 0$ (b) 不是规范正交。%

(d)
$$t = Af = \frac{1}{\sqrt{6}}\begin{bmatrix} 1 & 2 & 1 \\ \sqrt{3} & 0 & -\sqrt{3} \\ \sqrt{2} & -\sqrt{2} & \sqrt{2} \end{bmatrix} \begin{bmatrix} 3 \\ -6 \\ 1 \\ 4 \end{bmatrix} \begin{bmatrix} -\frac{2\sqrt{2}}{\sqrt{2}} \\ \frac{14}{\sqrt{3}} \end{bmatrix}$$
 (e) $f = A^{\dagger}t = \begin{bmatrix} 3 \\ -6 \\ 5 \end{bmatrix}$

(a) 求 $f = [3 + j2 \ 1 - j]^T$ 的范数。 (e) 求(d)中 f(x) 和 $g(x) = \sin x$ 的夹角

(b) 求 $g = [0.707 - 0.707]^T$ 的范数。 (f) f 和 g 正交吗? (c) 求 $h = [0.707 \ 0.707]^T$ 和 g 的夹角。 (g) f 和 g 规范正交吗?

(a) $||f|| = \sqrt{\langle f, f \rangle} = \sqrt{f^{*}f} = \sqrt{f_0^* f_0 + f_1^* f_1} = \sqrt{15}$ (b) $\|g\| = 0.707\sqrt{2} = 1$ (d) $||f(x)|| = \sqrt{\langle f(x), f(x) \rangle} = \sqrt{\int_{0}^{2\pi} \cos^{2} x dx} = \sqrt{\pi}$

e)
$$\theta = \arccos \frac{\langle f(x), g(x) \rangle}{\|f(x)\| \|g(x)\|} = \arccos \frac{\int_0^{2\pi} \sin x \cos x dx}{\pi} = \arccos \theta = 90^{\circ}$$

(g) $\|f(x)\| = \|g(x)\| = \sqrt{\pi}$

 $h_{\varphi}(k) = \langle \varphi(x), \sqrt{2}\varphi(2x-k) \rangle = \int \sqrt{2}\varphi(x)\varphi(2x-k)dx$, $\sharp \mapsto k \in \mathbb{Z}$

,解得-1 < k < 2。因为k为整数,因此k = 0或1。

 $\mathbf{d} \cdot \mathbf{I} \cdot \mathbf{0} = k = 0 \text{ Bf}, \quad h_{\varphi}(0) = \sqrt{2} \int_{0}^{3/2} \mathrm{Id}x = \frac{\sqrt{2}}{2} \quad k = 1 \text{ Bf}, \quad h_{\varphi}(1) = \sqrt{2} \int_{0}^{3/2} \mathrm{Id}x = \frac{\sqrt{2}}{2}$ 因此哈尔尺度系数为 $\{h_o(n)|n=0,1\}=0$

 $_{0}(x)=2^{\frac{1}{2}}y(2^{3}x-3)=2\sqrt{2}y(8x-3)$ 利用哈尔小波函数定义,得到小波图如下: 根据哈尔尺度函数 $h_{\nu}(0) = \frac{1}{\sqrt{2}}, h_{\nu}(1) = -\frac{1}{\sqrt{2}},$ 得到 $\psi(x) = \sum h_{\nu}(n)\sqrt{2}\varphi(2x-n)$. 因此, $\psi(8x-3) = \sum h_{\nu}(n)\sqrt{2}\phi(2(8x-3)-n)$

 $= \frac{1}{\sqrt{2}} \sqrt{2} \varphi(16x-6) + \left(-\frac{1}{\sqrt{2}}\right) \sqrt{2} \varphi(16x-7) = \varphi(16x-6) - \varphi(16x-7)$ 得到 $\psi_{11}(x) = 2\sqrt{2}\psi(8x-3) = 2\sqrt{2}\phi(16x-6) - 2\sqrt{2}\phi(16x-7)$

(a)*对于任何初始尺度 $i_i \leq J$, 重写这些公式。

(b) 对于 j_0 = 1 (而非 0)的例 7.19, 重新计算 $0 \le x \le 3$ 时函数 $f(x) = \{1,4,-3,0\}$ 的一维 DWT. (c) 用来自(b)问的结果由变换值计算 f(1) 。

(a)对于任何 j₀ ≤ J

(a)
$$\lambda_1 \exists \gamma \uparrow \pm |\gamma| \int_{\theta} \leq J$$

$$T_{\varphi}(j,k) = \langle f(x), \varphi_{j,0}(x) \rangle = \langle f(x), 2^{\frac{j}{2}} \varphi(2^{j}x - k) \rangle = \frac{1}{\sqrt{N}} \sum_{i=0}^{N-1} f(x) 2^{\frac{j}{2}} \varphi^{*}(2^{j}x - k)$$

 $T_{\nu}(j,k) = \langle f(x), \psi_{j,k}(x) \rangle = \frac{1}{\sqrt{N}} \sum_{i=0}^{N-1} f(x) \psi_{j,k}^{*}(x)$

(b) 因为 $M=2,J=2,j_0=1$, 求得哈尔函数在n=0,1,2,3, j=1, k=0,1上的分布: $W_{\varphi}(1,0) = \frac{1}{2} \left[\int (0) \varphi_{1,0}(0) + f(1) \varphi_{1,0}(1) + f(2) \varphi_{1,0}(2) + f(3) \varphi_{1,0}(3) \right] = \frac{1}{2} \left[\sqrt{2} + 4\sqrt{2} + 0 + 0 \right] = \frac{5\sqrt{2}}{2}$ $W_{\sigma}(1,1) = \frac{1}{2} \left[f(0) \varphi_{11}(0) + f(1) \varphi_{11}(1) + f(2) \varphi_{11}(2) + f(3) \varphi_{11}(3) \right] = \frac{1}{2} \left[0 + 0 - 3\sqrt{2} + 0 \right] = -\frac{3\sqrt{2}}{2}$ $W_{\nu}(1,0) = \frac{1}{2} \left[f(0)\psi_{1,0}(0) + f(1)\psi_{1,0}(1) + f(2)\psi_{1,0}(2) + f(3)\psi_{1,0}(3) \right] = \frac{1}{2} \left[\sqrt{2} - 4\sqrt{2} + 0 + 0 \right] = -\frac{3\sqrt{2}}{2}$ $W_{\nu}(1,1) = \frac{1}{2} \left[f(0)\psi_{1,1}(0) + f(1)\psi_{1,1}(1) + f(2)\psi_{1,1}(2) + f(3)\psi_{1,1}(3) \right] = \frac{1}{2} \left[0 + 0 - 3\sqrt{2} + 0 \right] = -\frac{3\sqrt{2}}{2}$ 因此, f(n)的一维 DWT 为 $\left\{\frac{5\sqrt{2}}{2}, -\frac{3\sqrt{2}}{2}, -\frac{3\sqrt{2}}{2}, -\frac{3\sqrt{2}}{2}\right\}$

(c) $f(n) = \frac{1}{2} \left[W_{\sigma}(1,0) \varphi_{1,0}(n) + W_{\sigma}(1,1) \varphi_{1,1}(n) + W_{\nu}(1,0) \psi_{1,0}(n) + W_{\nu}(1,1) \psi_{1,1}(n) \right]$

 $n = 1 \text{ BT } f(1) = \frac{\sqrt{2}}{4} \left[(5) \left(\sqrt{2} \right) + (-3) (0) + (-3) \left(\sqrt{2} \right) + (-3) (0) \right] = 1$



 $(A \circ B)^c = [(A \ominus B) \oplus B]^c = (A \ominus B)^c \ominus \widehat{B} = (A^c \oplus \widehat{B}) \ominus \widehat{B} = A^c \cdot \widehat{B}$ $(A \cdot B)^c = [(A \oplus B) \ominus B]^c = (A \oplus B)^c \oplus \hat{B} = (A^c \ominus \hat{B}) \oplus \hat{B} = A^c \circ \hat{B}$

 $h(x,y) = e^{-\left[(x-\alpha)^2 + (y-\beta)^2\right]}$

式中,x和v是连续变量。假设这个系统的输入是一幅二值图像,二值图像由黑色背景上x=a处的一条宽度 无限小的白色垂线组成。这样的图像可以建模为 $f(x,y) = \delta(x-a)$ 。假设噪声可以忽略不计,使用式(5.61)求 输出图像 g(x, y) 。

 $g(x,y) = \int_{-\infty}^{\infty} \int_{-\infty}^{\infty} f(\alpha,\beta)h(x-\alpha,y-\beta)d\alpha d\beta$

其中 $f(x,y) = \delta(x-\alpha)$, 因此 $f(\alpha,\beta) = \delta(\alpha-\alpha)$, 可得

$$\begin{split} g(x,y) &= \int_{-\infty}^{\infty} \int_{-\infty}^{\infty} \delta(\alpha - \alpha) e^{-\left[(x-2\alpha)^2 + (y-2\beta)^2\right]} d\alpha d\beta = \int_{-\infty}^{\infty} \int_{-\infty}^{\infty} \delta(\alpha - \alpha) e^{-(y-2\alpha)^2} e^{-(y-2\beta)^2} d\alpha d\beta \\ &= \int_{-\infty}^{\infty} \delta(\alpha - \alpha) e^{-(y-2\alpha)^2} d\alpha \int_{-\infty}^{\infty} e^{-(y-2\beta)^2} d\beta = e^{-(x-2\alpha)^2} \int_{-\infty}^{\infty} e^{-(y-2\beta)^2} d\beta = \frac{\sqrt{\pi}}{2} e^{-(y-2\alpha)^2} \end{split}$$

$$H(u, v) = \int_{0}^{T} e^{-j2\pi i u_0(t)} dt = \int_{0}^{T} e^{-j2\pi i u_0^{(t)}} dt = \int_{0}^{T} e^{-j\pi i u^2} dt = \int_{0}^{T} [\cos(\pi a t^2) - j\sin(\pi a t^2)] dt$$

 $= \sqrt{\frac{T^2}{2\pi i a T^2}} [C(\sqrt{\pi u a}T) - jS(\sqrt{\pi u a}T)]$

其中, $C(z) = \sqrt{\frac{2\pi}{\pi}} \int_{z}^{z} \cos t^{2} dt$, S(z) = 0

假设 x 和 y 是连续变量,证明频率域中的退化为

 $H(u,v) = -8\pi^4\sigma^2(u^2 + v^2)e^{-2\pi^2\sigma^2(u^2 + v^2)}$

对于 $s(x,y) = e^{\frac{x^2+y^2}{2\sigma^2}}$ 有 $\nabla^2 s(x,y) = \frac{\partial^2 s(x,y)}{\partial x^2} + \frac{\partial^2 s(x,y)}{\partial x^2} = \frac{x^2+y^2-2\sigma^2}{\sigma^2} e^{\frac{x^2+y^2}{2\sigma^2}}$

因此, $H(u,v) = \Im[h(x,y)] = \Im[\nabla^2 s(x,y)] = -4\pi^2(u^2 + v^2)F(u,v)$

哈尔尺度函数满足相关条件,因此其展开系数 其中, $F(u,v)=3[s(x,y)]=3(e^{\frac{r}{2\sigma^2}})=2\pi\sigma^2e^{-2\pi^2i(x^2+r^2)}$

 $\exists \text{LL}, \quad H(u,v) = -4\pi^2 (u^2 + v^2) \cdot 2\pi\sigma^2 e^{-2\pi^2\sigma^2(u^2+v^2)} = -8\pi^3\sigma^2 (u^2 + v^2) e^{-2\pi^2\sigma^2(u^2+v^2)}$

使用习题 5.31 中的传递函数,给出维纳滤波器传递函数的表达式,假设噪声图像和未退化图像的功率;

$$H_w(u,v) = \left[\frac{1}{H(u,v)} \frac{|H(u,v)|^2}{|H(u,v)|^2 + K}\right]$$

 $|E_{\tau}|^2$, $|H(u,v)|^2 = H^*(u,v)H(u,v) = H^2(u,v) = 64\pi^6\sigma^4(u^2+v^2)^2e^{-4\pi^2\sigma^2(u^2+v^2)}$

因此,
$$H_w(u,v) = \frac{8\pi^3\sigma^2(u^2+v^2)e^{-2\pi^2\sigma^2(v^2+v^2)}}{64\pi^6\sigma^4(u^2+v^2)^2}e^{-4\pi^2\sigma^2(v^2+v^2)} + K$$

参照下图顶部的图像, 回答如下问题。

(a)*给出产生图像(a)的结构元和形态学运算。显示结 构元的原点。虚线表示原目标的边界, 仅供参考, 不是结果的一部分(白色元素是前景像素)

(b) 对图像(b)所示的输出重做(a)问。

(c)*对图像(c)所示的输出重做(a)问。 (d) 对图(d)所示的解重做(a)问。注意,图(d)中的所有

通过使用原点在右下角的矩形对原图像进行腐蚀所得到的。

通过使用长条矩形对原图像进行腐蚀所得到的。

) 先使用矩形对原图进行腐蚀得到两条竖线,再使用○进行膨胀。

) 先使用大一些○的进行腐蚀,再使用小一些的○进行膨胀

(a) 给出从斜截式 y = ax + b 得到直线的法线表示的一般过程。 (b)*求直线 y = -2x + 1 的法线表示。

a) $x\cos\theta + y\sin\theta = \rho$ 可表示为 $y = -(\cot\theta)x + \rho/\sin\theta$ 因此斜截式 $y = ax + b + a = -\cot\theta$, $b = \rho/\sin\theta$, 计算可得 $\theta = \cot^{-1}a$, $\rho = b\sin\theta$

证明 10.3 节中的基本全局阈值处理算法会在有限的步数内收敛

假设初始阈值在图像中的最小和最大强度之间选择。首先,考虑如图所示的直方图。它 显示了第k个迭代步骤的阈值。 $m_i(k+1)$ 将使用大于T(k)的强度乘以其直方图值来计算。 类似地,m,(k+1)将使用小于或等于T(k)的强度乘以其直方图值来计算。则第k+1次迭

代的阈值 $T(k+1) = 0.5 \lceil m_1(k+1) + m_2(k+1) \rceil$ 首先,我们需要先证明阈值在0和L-1之间有界。

如果 $m_2(k+1)=0$,则 $m_i(k+1)$ 等于图像的强度均值M,因此T(k+1)=M/2< L-1。同理可 证明 $m_1(k+1)=L-1$ 时T(k+1)=M/2>0,因此T(k)总是在0和L-1之间。

接着我们需要证明算法将会收敛。

当T(k+1)=T(k)时,则已收敛。 | 当T(k+1) < T(k)时,阈值将向左移动,则 $m_1(k+2)$ 与 $m_2(k+2)$ 都将减小或不变,进一步可 得T(k+2)≤T(k+1), 阈值将不断向左移动直到收敛。

同理可得, 当T(k+1)>T(k)时, 阈值将不断向右移动直到收敛

右侧图像中的目标和背景在区间[0,255]上的平均灰度分别为170和60。图像 被均值为 0. 标准差为 10 个灰度级的高斯噪声污染。提出一种正确分割率决 90%以上的阈值分割方法。(回顾可知, 高斯曲线面积的 99.7%在关于均值的 ±3σ区间内, 其中σ是标准差。)

由于170-60=110, 而 σ =10, 110 \gg 3 σ =30, 因此图像的直方图将有两个显著的峰, 使用 简单的全局阈值处理算法即可达到良好的效果。